

文章编号:0253-9950(2008)01-0029-05

# 自动化合合成 N-琥珀酰亚胺-4-[<sup>18</sup>F]氟苯甲酸酯

刘晓飞, 张锦明\*, 田嘉禾, 陈英茂

解放军总医院 核医学科, 北京 100853

**摘要:**通过自动化多功能化学合成模块, 在线合成 N-琥珀酰亚胺-4-[<sup>18</sup>F]氟苯甲酸酯([<sup>18</sup>F]SFB)。标记前体 4-三甲基胺苯甲酸乙酯三氟甲基磺酸盐与干燥的<sup>18</sup>F<sup>-</sup>发生亲核反应, 生成 4-[<sup>18</sup>F]氟苯甲酸乙酯, 碱水解得到 4-[<sup>18</sup>F]氟苯甲酸([<sup>18</sup>F]FBA), 经 Sep-Pak C18 固相柱分离, 加 O-(N-琥珀酰亚胺)N,N,N',N'-四甲基脲四氟硼酸盐(TSTU)乙腈溶液反应, 生成 [<sup>18</sup>F]SFB, Sep-Pak C18 固相柱分离得纯 [<sup>18</sup>F]SFB。在 115 °C, 密封条件间隔通氮气加热 10 min 亲核反应, 用 NaOH 水解保护基团, 得到 [<sup>18</sup>F]SFB 的不校正合成效率为 (28.2±1.9)% (n=5), 放射化学纯度大于 90%, 总的合成时间为 45 min。

**关键词:** [<sup>18</sup>F]SFB; 自动化; 多功能化学合成模块

中图分类号:O628.51 文献标志码:A

## Automatic Synthesis of N-Succinimidyl-4-[<sup>18</sup>F]Fluorobenzoate

LIU Xiao-fei, ZHANG Jin-ming\*, TIAN Jia-he, CHEN Ying-mao

Department of Nuclear Medicine, The PLA General Hospital, Beijing 100853, China

**Abstract:** *N*-succinimidyl-4-[<sup>18</sup>F]fluorobenzoate([<sup>18</sup>F]SFB) was prepared using a multifunction chemistry process control unit module. The dried K<sub>222</sub>/<sup>18</sup>F<sup>-</sup> was resolubilized with a solution of 4-trimethylammoniumbenzoate trifluoromethane-sulfonate and reacted to produce ethyl-4-[<sup>18</sup>F]fluorobenzoate. The ethylester was subsequently hydrolyzed using alkali to obtain the 4-[<sup>18</sup>F]fluorobenzoic acid([<sup>18</sup>F]FBA). After purifying through Sep-Pak C18 cartridge, [<sup>18</sup>F]FBA was dissolved with TSTU in CH<sub>3</sub>CN and reacted to produce [<sup>18</sup>F]SFB. The nucleophilic reaction reacted for 10 min at 115 °C in the covered vial, mixing solvents with nitrogen for several seconds and the ethylester was subsequently hydrolyzed using alkali. The decay-corrected yields of [<sup>18</sup>F]SFB were much higher. The radiochemical yield of [<sup>18</sup>F]SFB is (28.2±1.9)% (n=5), and radiochemical purity of [<sup>18</sup>F]SFB is more than 90%. The whole reaction time is only 45 min from <sup>18</sup>F-F<sup>-</sup> to [<sup>18</sup>F]SFB. The whole reaction time can be shorten and the yield of product is high by using the multifunction chemistry process control unit module. It is a quick and highly efficient method for labeling bioactive compound.

**Key words:** [<sup>18</sup>F]SFB; automatic; multifunction chemistry process control unit module

N-琥珀酰亚胺-4-[<sup>18</sup>F]氟苯甲酸酯([<sup>18</sup>F]SFB)是适合用于标记肽、蛋白质和抗体等生物活性分子的酰化基团<sup>[1-2]</sup>。目前合成 [<sup>18</sup>F]SFB 的常用方法是以 4-三甲基胺苯甲酸乙酯三氟甲基磺

酸盐为起始原料, 亲核反应得到 4-[<sup>18</sup>F]氟苯甲酸乙酯, 碱性条件下水解得到 [<sup>18</sup>F]FBA, 然后在 N,N-二异丙基乙胺(DIPEA)催化下与 O-(N-琥珀酰亚胺)N,N,N',N'-四甲基脲四氟硼酸盐

(TSTU)连接得到 $[^{18}\text{F}]$ SFB。

商品化 $^{18}\text{F}$ 的多功能合成均为单个反应管,不能用于像 $[^{18}\text{F}]$ SFB 这样复杂标记物的合成。全自动合成有一定的难度,为了高效、快速合成短寿命的正电子核素药物,得到较稳定的合成效率,自动化合成是首选。Mading 等<sup>[3]</sup>首先采用 GE 公司双系统 TRACERlab Fx FDG 模块,对 FDG 模块进行了改造,合成效率为 34%~38%,合成时间为 68 min。Marik 等<sup>[4]</sup>同样采用 Siemens/CTI 双系统 FDG 合成模块(CPCU),合成效率为 46%。本工作拟采用自行研制的 1 个双反应管的多功能化学合成模块,通过固相分离提取的方法纯化中间体和最终产物,并优化反应条件,在此模块上实现 $[^{18}\text{F}]$ SFB 的自动化合成。

## 1 实验部分

### 1.1 试剂和仪器

$\text{H}_2^{18}\text{O}$ , 丰度 95%, 美国 Isotec 公司产品; 4, 7, 13, 16, 21, 24-六氟杂-1, 10 二氮双环[8, 8, 8]二十六烷 ( $\text{K}_{222}$ ) 为分析纯, 德国 ABX 公司; NaOH, HCl 为分析纯, 乙醚、三氟乙酸(TFA)为 HPLC 级, 均为北京化工厂产品; 三氟甲基磺酸甲酯( $\text{CH}_3\text{CF}_3\text{SO}_3^-$ )、对氟苯甲酸(FBA)、 $O$ -(*N*-琥珀酰亚胺)*N,N,N',N'*-四甲基脲四氟硼酸盐(TSTU)、*N*-羟基琥珀酰亚胺(NHS)、*N,N*'-二环己基碳酰亚胺(DCC)、二甲基亚砜(DMSO)、*N,N*-二异丙基乙胺(DIPEA)均为分析纯, 美国 Alfa Aesar 公司产品; 4-*N,N*-二甲基苯甲酸乙酯、无水乙腈为 HPLC 级, 美国 Sigma-Aldrich 公司产品; 硅胶板, 英国 Whatman 公司产品; Sep-Pak QMA 柱、C18 Sep-Pak 柱, 美国 Waters 公司产品。

RDS111 加速器, 美国 CTI 公司; 双反应管 $^{18}\text{F}$ 多功能化学合成单元(chemistry process control unit), 自行研制; 活度计和放射性薄层扫描仪(Radio-TLC), 美国 Bioscan 公司; 高效液相色谱系统, 美国 Waters 公司, 配有 Waters 515 泵; 2487 检测器, Bioscan flow-count 放射性检测系统, 美国 Bioscan 公司; <sup>UNITY</sup> INOVA 600 超导核磁共振谱仪, 美国 Varian 公司; WRS-IA 数字熔点仪, 上海物理光学仪器厂; RE-52B 旋转蒸发仪, 上海青浦沪西仪器厂。

### 1.2 实验方法

**1.2.1 4-三甲基胺苯甲酸乙酯三氟甲基磺酸盐的制备** 合成路线<sup>[5]</sup>示于图 1。将 1.9 g (7.4 mmol) 反应物 1 溶于 20 mL 乙醚, 然后向其中加入 0.8 mL 反应物 2 (7.0 mmol), 用氩气饱和后密封, 室

温下反应 6 h。反应结束后, 用布什漏斗抽滤, 经乙醚重结晶 2 次, 乙醚挥发后得到化合物 3。

**1.2.2 SFB 的化学合成** SFB 的合成路线<sup>[5]</sup>示于图 2。将 1.05 g 对氟苯甲酸(7.5 mmol), 0.86 g NHS (7.5 mmol), 20 mL THF 加入用氩气饱和的三颈瓶中, 搅拌, 使之完全溶解, 然后慢慢加入 DCC (1.55 g, 7.5 mmol 溶于 10 mL THF), 0 ℃ 冰浴下反应 2 h。用 15 mL 冷冻 THF 洗涤 3 次, 抽滤除去生成的沉淀, 旋转蒸发仪蒸干 THF, 得到白色粉末, 蒸干滤液, 再经无水乙醇重结晶, 得到白色片状固体产物, 抽滤固体产物, 并用 9 mL 无水乙醇洗涤 3 次, 真空干燥, 得到目标产物 *N*-琥珀酰亚胺-4-[ $^{18}\text{F}$ ]氟苯甲酸酯。

**1.2.3  $^{18}\text{F}-\text{F}^-$  的生产** 多功能化学合成模块示意图示于图 3。采用 RDS111 医用回旋加速器通过 $^{18}\text{O}(\text{p}, \text{n})^{18}\text{F}$  核反应, 应用小体积 $[^{18}\text{O}]$  $\text{H}_2\text{O}$  靶, 用 11 MeV, 25  $\mu\text{A}$  的质子束流连续轰击靶 10 min。用气动方式将 $^{18}\text{F}-\text{F}^-$  传输到多功能自动化化学合成模块中, $^{18}\text{F}-\text{F}^-$  被吸附到 Sep-Pak Light QMA 柱上, 等待被淋入反应管中。

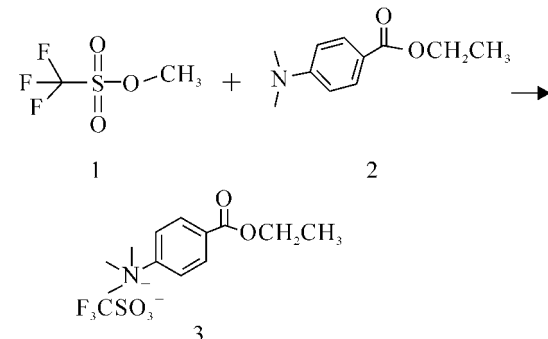


图 1 4-三甲基胺苯甲酸乙酯三氟甲基磺酸盐的合成路线

Fig. 1 Route for synthesis of 4-trimethylammoniumbenzoate trifluoromethane-sulfonate

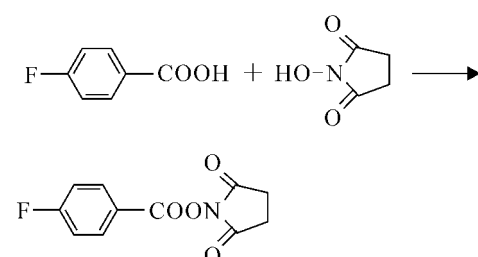


图 2 SFB 的合成路线

Fig. 2 Route for synthesis of SFB

**1.2.4 [<sup>18</sup>F]SFB的制备** [<sup>18</sup>F]SFB的合成路线示于图4。按照图3,将B1中的K<sub>222</sub>/K<sub>2</sub>CO<sub>3</sub>(17.7 mg K<sub>222</sub>, 4.2 mg K<sub>2</sub>CO<sub>3</sub>溶于95%乙腈溶液)通过QMA柱,将吸附在QMA柱上的<sup>18</sup>F-F<sup>-</sup>淋入1号反应管(RV1),通入氮气并加热,将RV1内溶液蒸干;将B2中2 mL无水乙腈加入RV1,重复以上步骤,通气和加热,将RV1内溶液蒸干;冷却RV1至40℃左右,将B3中化合物3的溶液(15.6 μmol溶于0.5 mL无水DMSO)加入RV1,115℃反应600 s,每200 s用氮气流将溶液混合1次,每次5 s;向RV1中加入B4中的0.5 mL 0.5 mol/L NaOH,115℃反应水解300 s,每100 s用氮气流将溶液混合1次,每次5 s。将B5中的HCl(0.1 mol/L, 15 mL)加入反应管

RV1,中和碱。将反应管内液体转移出,过第一个C18柱,[<sup>18</sup>F]FBA吸附在C18柱上,废液进废液瓶;用90℃氮气流干燥C18柱;用B6中2 mL无水乙腈将C18柱上的[<sup>18</sup>F]FBA洗脱到2号反应管(RV2)中;向RV2中通入氮气并加热,共沸除去水分至干;再将B7中的DIPEA(15 μL溶于0.5 mL无水乙腈)加入RV2,通氮气并加热,将RV2内液体蒸干,冷却RV2;将B8内TSTU(12~15 mg,溶于0.5 mL无水乙腈)加入RV2中,100℃下密封反应300 s;将B9中3 mL 5%的乙酸与10 mL H<sub>2</sub>O的混合溶液酸化,反应液过第2个C18柱;再用90℃氮气流吹干C18柱;最后,用2 mL乙腈洗脱C18柱得到[<sup>18</sup>F]SFB。

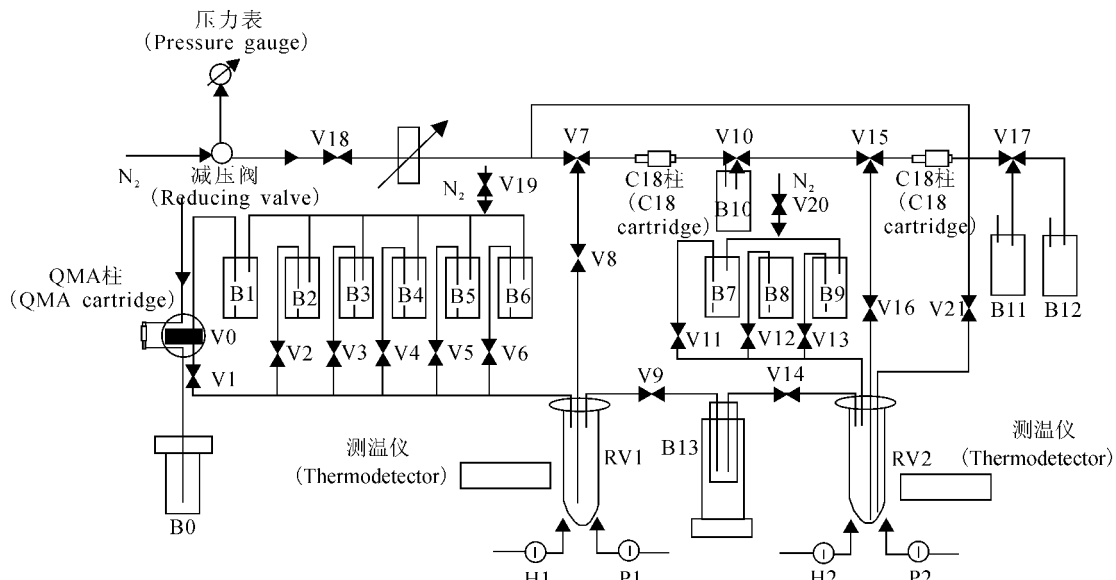


图3 多功能化学合成模块示意图

Fig. 3 Scheme of the module for the synthesis of [<sup>18</sup>F]SFB

B1~B9——试剂瓶(Reagent bottle); B0, B10, B11——废液瓶(Waste bottle); B12——产品瓶(Product bottle); B13——废气瓶(Waste gas bottle); V0——二位六通液体阀(Six-way joint liquid valve); V1~V6, V8, V9, V11~V14, V16——二通阀(Two-way joint liquid valve); V7, V10, V15, V17——三通阀(Three-way joint valve); V18~V21——气体阀(Gas valve); H1, H2——加热开关(Heating button); P1, P2——冷却开关(Cooling button); RV1, RV2——反应管(Reaction vessel)

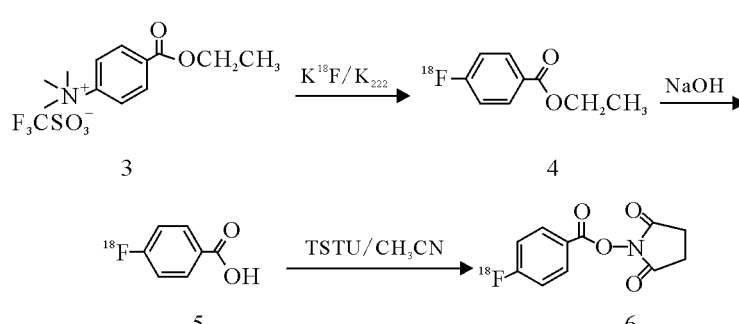


图4 [<sup>18</sup>F]SFB的合成路线

Fig. 4 Scheme for synthesis of [<sup>18</sup>F]SFB

**1.2.5 产物的分析** 毛细管吸取少量乙腈洗脱液点硅胶板,用 V(二氯甲烷) : V(乙酸乙酯) = 4 : 1 的混合溶液作流动相放入层析缸展开,待流动相展开到硅胶板 3/4 处,晾干,进行薄层扫描,测定产物的放射化学纯度并计算  $R_f$  值。

**HPLC 分析的实验条件:** 分析柱 Vydac 218TP510 (5  $\mu\text{m}$ , 250 mm  $\times$  10 mm) 218 nm, 梯度淋洗流速为 1 mL/min。95% 溶剂 A (0.1% TFA 溶于水) 和 5% 溶剂 B (0.1% TFA 溶于乙腈) 保持 2 min, 30 min 内过渡到 35% 溶剂 A 和 65% 溶剂 B。用紫外检测器和放射性检测器分析鉴别产物。

## 2 结果和讨论

### 2.1 化合物的鉴定

标记前体化合物 4-三甲基胺苯甲酸乙酯三氟甲磺酸盐的质量为 1.9 g, 产率为 76%, 经 HPLC 检测, 化学纯度大于 95%, 熔点为 117.5~119.2 °C。 $^1\text{H}$  NMR ( $\text{D}_2\text{O}$ ) : 8.253~8.278 (m, 2H, Ar—H), 7.978~8.003 (m, 2H, Ar—H), 4.432~4.468 (q, 2H,  $\text{CH}_2$ ), 3.07 (s, 9H,  $\text{CH}_3$ ), 1.409~1.443 (t, 3H,  $\text{CH}_3$ )。

**产物  $N$ -琥珀酰亚胺-4-[ $^{18}\text{F}$ ]氟苯甲酸酯 (SFB) 质量为 0.37 g, 用 V(二氯甲烷) : V(乙酸乙酯) = 4 : 1 的混合溶液作展开剂, 点板,  $R_f$  值为 0.71。经 HPLC 检测, 化学纯度大于 98%。熔点为 116.0~118.0 °C。 $^1\text{H}$  NMR ( $\text{CDCl}_3$ ) : 8.183~8.211 (m, 2H, Ar—H), 7.207~7.287 (m, 2H, Ar—H), 2.89 (s, 4H, — $\text{CH}_2$ — $\text{CH}_2$ —)。**

### 2.2 放射性 TLC 检测

经计算, [ $^{18}\text{F}$ ]SFB 的  $R_f$  = 0.73, 与冷合成参考物 SFB 的  $R_f$  = 0.71 一致。Radio-TLC 结果显示没有 4-[ $^{18}\text{F}$ ]氟苯甲酸乙酯 (4), [ $^{18}\text{F}$ ]FBA (5) 有很小的放射性峰。经分析 [ $^{18}\text{F}$ ]SFB 的放射化学纯度大于 90%。

### 2.3 HPLC 检测

[ $^{18}\text{F}$ ]FBA 放射性 HPLC 图谱示于图 5, 由图 5 可知, 约 16.5 min 出现了 [ $^{18}\text{F}$ ]FBA 的放射性峰, 与冷合成得到的 FBA 紫外吸收的保留时间 16.5 min 基本一致, 没有发现  $^{18}\text{F}^-$  放射性峰 (约 3.7 min) 和 4-[ $^{18}\text{F}$ ]氟苯甲酸乙酯的放射性峰 (约 25 min)。[ $^{18}\text{F}$ ]SFB 放射性 HPLC 图谱示于图 6, 由图 6 可知, 约 19.7 min 出现了 [ $^{18}\text{F}$ ]SFB 放

射性峰, 与冷合成得到的 SFB 紫外吸收的保留时间 19.5 min 一致 (先进紫外检测器后进放射性检测器), 有少量的 [ $^{18}\text{F}$ ]FBA (16.5 min) 和被还原的 [ $^{18}\text{F}$ ]SFB (15.5 min)。经 Bio-Chrom Lite 程序分析, [ $^{18}\text{F}$ ]FBA 的放射化学纯度大于 95%, [ $^{18}\text{F}$ ]SFB 放射化学纯度大于 90%。

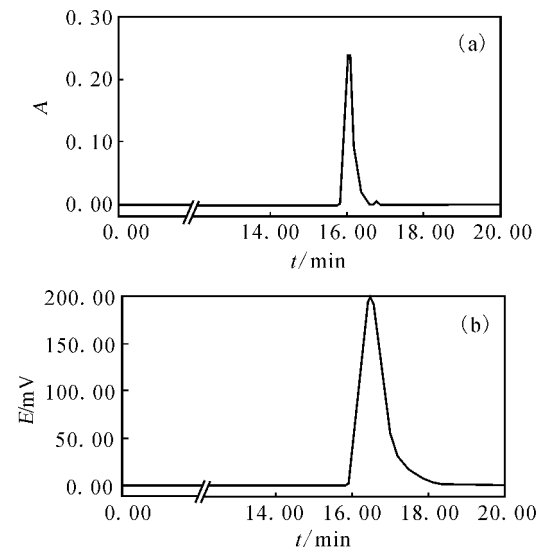


图 5 FBA 紫外 HPLC 图(a)和 [ $^{18}\text{F}$ ]FBA 放射性 HPLC 图(b)

Fig. 5 UV HPLC profile of FBA(a) and radio-HPLC profile of [ $^{18}\text{F}$ ]FBA(b)

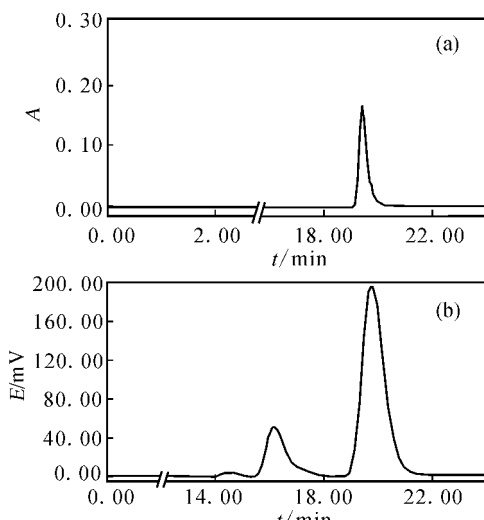


图 6 SFB 紫外 HPLC 图(a)及 [ $^{18}\text{F}$ ]SFB 放射性 HPLC 图(b)

Fig. 6 UV HPLC profile of SFB(a) and radio-HPLC profile of [ $^{18}\text{F}$ ]SFB(b)

## 2.4 合成条件的优化

制备[<sup>18</sup>F]SFB分4步反应:<sup>18</sup>F-F<sup>-</sup>的生产、亲核反应、保护基团的水解反应和最后[<sup>18</sup>F]FBA与TSTU的连接反应。在亲核反应时,溶解前体的溶剂有许多,如DMSO, MeCN, DMF等,不同溶剂反应的温度和时间也不同<sup>[3, 6]</sup>。当采用MeCN作前体的溶剂时,如果反应管密封不好,溶剂极易蒸干,乙腈蒸干使反应管内部温度超过K<sub>222</sub>的分解温度,使K<sub>222</sub>分解变黑,反应易失败。当密封较好时,乙腈和DMSO作前体的溶剂的合成效率相近,[<sup>18</sup>F]SFB的不校正合成效率分别为(28.2±1.9)% (n=5),(27.6±1.2)% (n=5)。同样温度下,在完全密闭和密闭并吹氮气混合2种条件下,后者的[<sup>18</sup>F]SFB合成效率更高。因为采用密闭体系过程中用氮气将溶液混合3次,能够将粘在通气管道和反应管管壁的反应物吹下,使亲核反应更加完全。

亲核反应时间(t)是影响亲核反应的重要因素,设定温度为115℃,分别反应5,10,20 min,结果如下:t=5 min时,[<sup>18</sup>F]SFB的不校正合成效率只有(11.2±1.3)% (n=5),反应不完全,有更多的<sup>18</sup>F-F<sup>-</sup>未参与反应;t=10 min时,[<sup>18</sup>F]SFB的不校正合成效率为(28.2±1.9)% (n=5),可使亲核反应完全;t=20 min时,[<sup>18</sup>F]SFB的不校正合成效率为(25.2±1.7)% (n=5),亲核反应最完全,但延长时间<sup>18</sup>F-F<sup>-</sup>的衰减量也增加,放射性损失很多。因此10 min是更合适的亲核反应时间,从<sup>18</sup>F-F<sup>-</sup>到[<sup>18</sup>F]SFB的反应时间为45 min。

在保护基团的水解反应过程中,如果反应物是丁基-4-[<sup>18</sup>F]氟苯甲酸酯,1 mol/L HCl能使水解反应很完全。本亲核反应的产物是4-[<sup>18</sup>F]氟苯甲酸乙酯,因此采用水解能力更强的NaOH参与反应,加入0.5 mL 0.5 mol/L NaOH,结果98%的4-[<sup>18</sup>F]氟苯甲酸乙酯水解,随后要过C18柱,因此还必须用盐酸中和碱,增加了反应步骤。

本工作研制的多功能化学合成模块,以热风浴作为热源,固定反应管,通过打开或关闭加热电热丝达到快速加热或冷却的目的,避免了油浴加热、需长时间平衡、设备复杂等缺点,大大缩短

了合成时间,减少了放射性在合成系统中的损失,提高了合成效率。模块采用自主研制开发的操作软件,通过电脑实现对模块的自动化控制。另外,有手动、半自动、全自动化控制3种操作模式,借助这一软件整个实验只需点击鼠标即可得到最终产品[<sup>18</sup>F]SFB。

## 3 结论

采用多功能化学合成模块制备[<sup>18</sup>F]SFB,在115℃,密封条件间隔通氮气加热10 min亲核反应,用NaOH水解保护基团,得到[<sup>18</sup>F]SFB的不校正合成效率为(28.2±1.9)% (n=5),放射化学纯度大于90%,总合成时间为45 min,实现了完全自动化的操作,为随后快速、高效标记肽、蛋白质和抗体等生物活性分子创造了条件。

## 参考文献:

- [1] Zijlstra S, Gunawan J, Burchert W. Synthesis and Evaluation of a <sup>18</sup>F-labelled Recombinant Annexin-V Derivative, for Identification and Quantification of Apoptotic Cells With PET[J]. Appl Radiat Isot, 2003, 58(2): 201-207.
- [2] Wester H J, Hamacher K, Stocklin G. A Comparative Study of n. c. a. Fluorine-18 Labeling of Proteins via Acylation and Photochemical Conjugation [J]. Nucl Med Biol, 1996, 23(3): 365-372.
- [3] Mading P, Fuchtnar F, Wust F. Module-Assisted Synthesis of the Bifunctional Labelling Agent N-Succinimidyl 4-[<sup>18</sup>F] Fluorobenzoate ([<sup>18</sup>F] SFB) [J]. Appl Radiat Isop, 2005, 63(3): 329-332.
- [4] Marik J, Sutcliffe J L. Fully Automated Preparation of n. c. a. 4-[<sup>18</sup>F] Fluorobenzoic Acid and N-Succinimidyl 4-[<sup>18</sup>F] Fluorobenzoate Using a Siemens/CTI Chemistry Process Control Unit (CPCU) [J]. Appl Radiat Isop, 2007, 65(2): 199-203.
- [5] 程登峰,尹端沚,王明伟,等. N-琥珀酰亚胺-4-[<sup>18</sup>F]氟苯甲酸酯的合成[J]. 核技术,2006, 29(12): 917-920.
- [6] Chen X Y, Park R, Shahinian A H. <sup>18</sup>F-Labeled RGD Peptide: Initial Evaluation for Imaging Brain Tumor Angiogenesis [J]. Nucl Med Biol, 2004, 31(2): 179-189.